

ИЗВЕСТИЯ
ТОМСКОГО ОРДЕНА ТРУДОВОГО КРАСНОГО ЗНАМЕНИ ПОЛИТЕХНИЧЕСКОГО
ИНСТИТУТА имени С. М. КИРОВА

Том 162

1967

**ТЕРМИЧЕСКАЯ УСТОЙЧИВОСТЬ РАДИАЦИОННЫХ ДЕФЕКТОВ
В ХЛОРИСТОМ НАТРИЕ**

Е. К. ЗАВАДОВСКАЯ, Е. М. ГОЛОВЧАНСКИЙ, А. В. КУЗЬМИНА, А. П. АРЬЯНОВ

Отжиг дефектов в сильно облученных щелочногалоидных (щг) кристаллах изучался в работах [1, 2]. В работе [1] было показано, что процесс отжига в облученных высокогенеретическими протонами кристаллах NaCl происходит в три стадии.

Выделение энергии связывается с разрушением дефектов Френкеля, *F*-центров и агрегатов вакансий на первой, второй и третьей стадии соответственно. При отжиге сильно облученного гамма-лучами NaCl найдено, что запасенная энергия выделяется в две стадии [2, 3]. В этих работах авторы считают, что за низкотемпературный пик выделения энергии (максимум при 150°C) ответственны как дефекты Френкеля, так и *F*-центры, которые образуются на второй стадии окрашивания. За высокотемпературный максимум выделения энергии ответственны *F*-центры, образованные на радиационных вакансиях.

В данной работе исследовался изотермический и неизотермический отжиг дефектов в сильно облученных протонами кристаллах NaCl (энергия протонов 4,5 Мэв, экспозиционная доза $6,8 \cdot 10^{14}$ протон/см²).

1. Изотермический отжиг

Изотермический отжиг дефектов проводился при температурах 100, 150 и 200°C следующим образом. Партия образцов для исследования запасенной энергии и спектров поглощения помещалась в печь, нагретую до вышеуказанных температур, выдерживалась в ней определенное время, а затем специальным устройством образцы выбрасывались на подложку из ваты. После охлаждения образцов определялось выделение запасенной энергии и исследовалось изменение оптического поглощения.

На рис. 1 (*a, б*) приведены зависимости изменения запасенной энергии и микротвердости от времени отжига при различных температурах. На рис. 2 представлен изотермический отжиг (200°C) центров окраски. Сопоставим полученные зависимости при температуре отжига в 200°C.

В течение 2 минут отжига при этой температуре микротвердость облученного кристалла практически равна микротвердости необлученного NaCl, а в спектре оптического поглощения появляется ряд сложных полос, которые перекрываются с *F*- и *M*-полосами так, что невозможно проследить за отжигом *F*- и *M*-центров. За это же время запасенная

энергия уменьшается на 50% от первоначальной величины. Дальнейший отжиг приводит к полному разрушению F - и M -полос и появлению полосы при 578 мк, при этом выделяется большая часть запасенной энергии (около 75%). Через 47 минут отжига при температуре 200°C кристаллы полностью обесцветились. Полное разрушение центров окраски

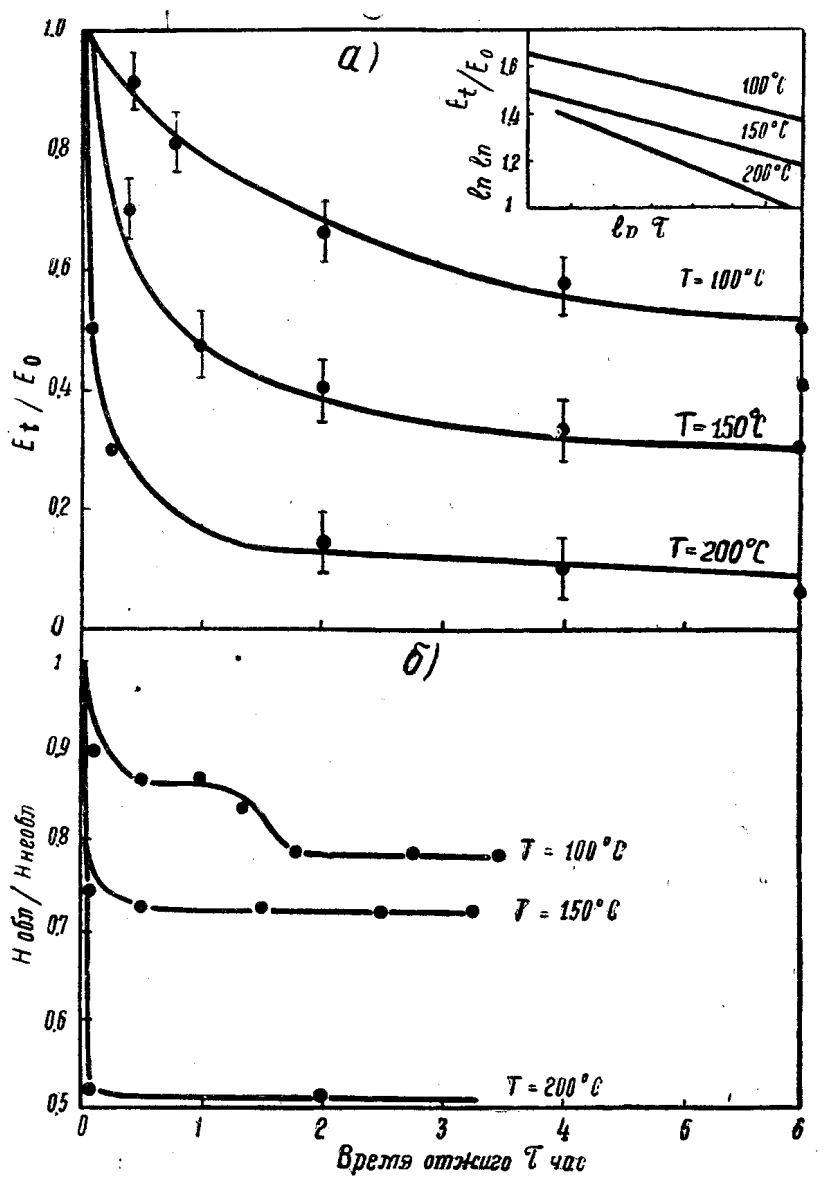


Рис. 1. *а)* Зависимость изменения запасенной энергии от времени отжига при различных температурах кристаллов NaCl .

Рис. 1. *б)* Изменение микротвердости облученных кристаллов после отжига их при различных температурах

сопровождается выделением основной части запасенной энергии (около 90%). Отжиг в течение 6 часов приводит к полному разрушению радиационных дефектов.

Из вышеприведенного сопоставления разрушения центров окраски и выделения энергии при температуре отжига 200°C , очевидно, что за запасание энергии в ЦГ кристаллах ответственны электронные центры.

Сравнение отжига дефектов, ответственных за изменение микротвердости, с отжигом дефектов, ответственных за запасенную энергию и оптическое поглощение, позволяет сделать вывод о том, что увеличение микротвердости после облучения связано с дефектами, которые не вносят существенного вклада в запасенную энергию. Такими дефектами могут быть либо связки вакансий определенного размера, либо дырочные центры.

Из полученных закономерностей отжига радиационных дефектов (рис. 1) определим энергию активации и порядок реакции отжига. Представленные кривые можно описать кинетическим уравнением [4].

$$\frac{dn}{d\tau} = An^x \exp\left(-\frac{E_A}{\kappa T}\right), \quad (1)$$

где n — концентрация дефектов в кристалле,

$\frac{dn}{d\tau}$ — скорость уменьшения дефектов,

E_A — энергия активации для перемещения дефектов,

x — порядок реакции, A — частотный фактор.

Так как запасенная энергия пропорциональна концентрации дефектов, заменим $dn/d\tau$ в уравнении 1 на экспериментально полученное уменьшение запасенной энергии. После подстановки, интегрирования и логарифмирования, имеем:

$$\ln \int_{E_0}^{E_t} \frac{dE}{E^x} = \ln A + \ln \tau - E_A / \kappa T. \quad (2)$$

Из кривых изотермического отжига для различных температур можно найти энергию активации по следующему выражению:

$$E_A = 0,862 \cdot 10^{-4} \frac{\ln \frac{\tau_2}{\tau_1}}{\frac{1}{T_2} - \frac{1}{T_1}}. \quad (3)$$

Как видно из выражения (3), энергия активации не зависит от порядка реакции, но для ее расчета необходимо, чтобы в данном температурном интервале энергия активации была постоянной. Для определения порядка реакции построим график $\ln \ln E_t/E_0$ от $\ln \tau$. Полученная линейная зависимость указывает на то, что в диапазоне температур 100—200°C отжиг радиационных дефектов описывается уравнением первого порядка. Энергия активации, вычисленная по дан-

Таблица 1
Энергия активации дефектов в NaCl,
облученном протонами

Температурный интервал	Энергия активации в эВ
373—423°К	0,83
423—473°К	0,96

ным изотермического отжига в интервале температур 100—150°C (табл. 1), близка к энергии активации катионной вакансии, полученной экспериментально при исследовании электропроводности [5].

В отличие от металлов в ШГ кристаллах нельзя по энергии активации определить тип дефектов, которые вносят вклад в запасенную

энергию активации, чтобы в данном температурном интервале энергия активации была постоянной. Для определения порядка реакции построим график $\ln \ln E_t/E_0$ от $\ln \tau$. Полученная линейная зависимость указывает на то, что в диапазоне температур 100—200°C отжиг радиационных дефектов описывается уравнением первого порядка. Энергия активации, вычисленная по дан-

ному изотермическому отжигу в интервале температур 100—150°C (табл. 1), близка к энергии активации катионной вакансии, полученной экспериментально при исследовании электропроводности [5].

энергию. Отжиг дефектов в этих соединениях обусловлен миграцией катионных вакансий и сопровождается как разрушением, так и объединением дефектов в более крупные агрегаты.

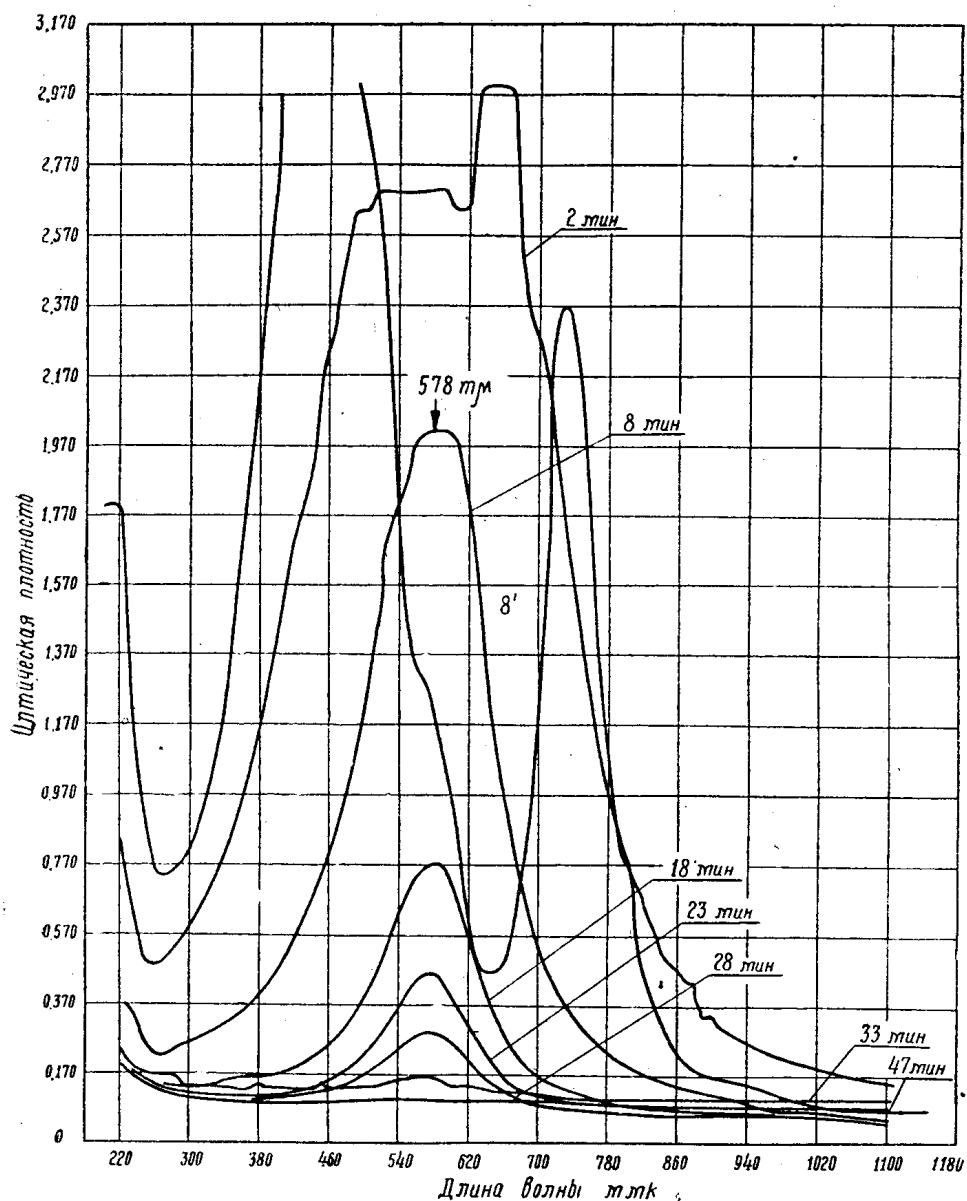


Рис. 2. Изменение спектров поглощения, облученных протонами (доза $6,8 \cdot 10^{14}$ протон/ см^2) кристаллов хлористого натрия после отжига при температуре 200°C в течение различного времени

2. Неизотермический отжиг

Неизотермический отжиг облученных кристаллов NaCl проводился при скорости нагрева около $1,4^\circ \text{мин}^{-1}$. По достижении данной температуры несколько кристаллов извлекалось из печи и методом растворения в них определялась запасенная энергия [6]. На рис. 3 показана зависимость E_t/E_0 от температуры отжига, где E_0 — запасенная энергия в кристаллах после облучения (при дозе $6,8 \cdot 10^{14}$ протон/ см^2 она состав-

ляла около 8,5 дж/г), E_t — запасенная энергия в образцах после отжига до указанной температуры. Отжиг радиационных дефектов идет в три стадии. Максимумы выделения энергии одинаковы в различных партиях образцов. Максимум выделения энергии при 218°C плохо разрешим и поэтому не представлен на рис. 3. Кроме измерения запасенной энергии при неизотермическом отжиге исследовалось изменение оптического поглощения образцов при различных температурах отжига (рис. 4). Из-за большой концентрации F-центров максимум F-полосы не промеялся до 140°C. В этой области температур отжиг F-центров может ха-

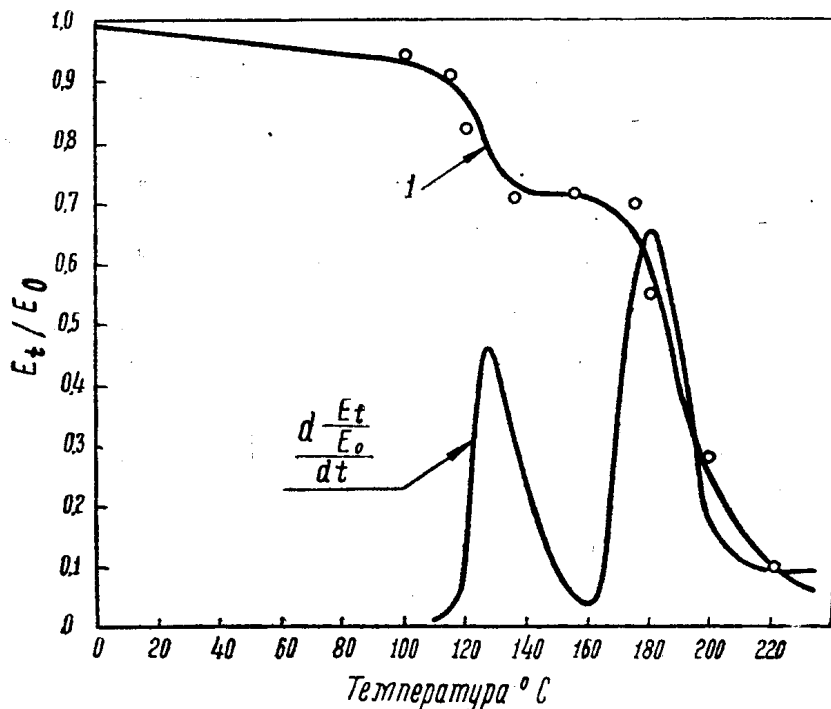


Рис. 3. Зависимость от температуры отжига E_t/E_0 (кривая 1) и $\frac{dE_t/E_0}{dt}$ (кривая 2)

рактеризоваться ростом M- и более сложных полос. До 150°C наблюдается увеличение M-полосы и появление на ее длинноволновом спаде новой полосы, точное положение которой определить не удалось. В этом же интервале температур растет поглощение в области 940—950 мк. С ростом температуры увеличивается поглощение между F- и M-полосами. При температурах 150—180°C происходит интенсивная коагуляция F- и M-центров в сложные центры. Появляется ряд R-полос. Дальнейший нагрев образцов приводит к появлению полосы при 578 мк, которая отжигается без дальнейшей трансформации. При температуре 220°C кристалл полностью обесцвечивается.

Сопоставление изменения запасенной энергии в зависимости от температуры отжига с изменением спектров оптического поглощения дает возможность следующим образом объяснить двухстадийный характер выделения запасенной энергии. Известно, что вид кривой отжига F-центров зависит от степени несовершенства кристаллической решетки [7]. Чем менее совершенна структура кристалла, тем более сложный характер имеет кривая отжига F-центров. Поэтому, в отличие от Кобаяси, мы считаем, что выделение энергии в области температур 100—160°C обусловлено как частичной рекомбинацией F-центров, так и объединением

их в более сложные центры. Выделение энергии в области температур 160—200°C связано с разрушением *F*- и *M*-центров, которое сопровож-

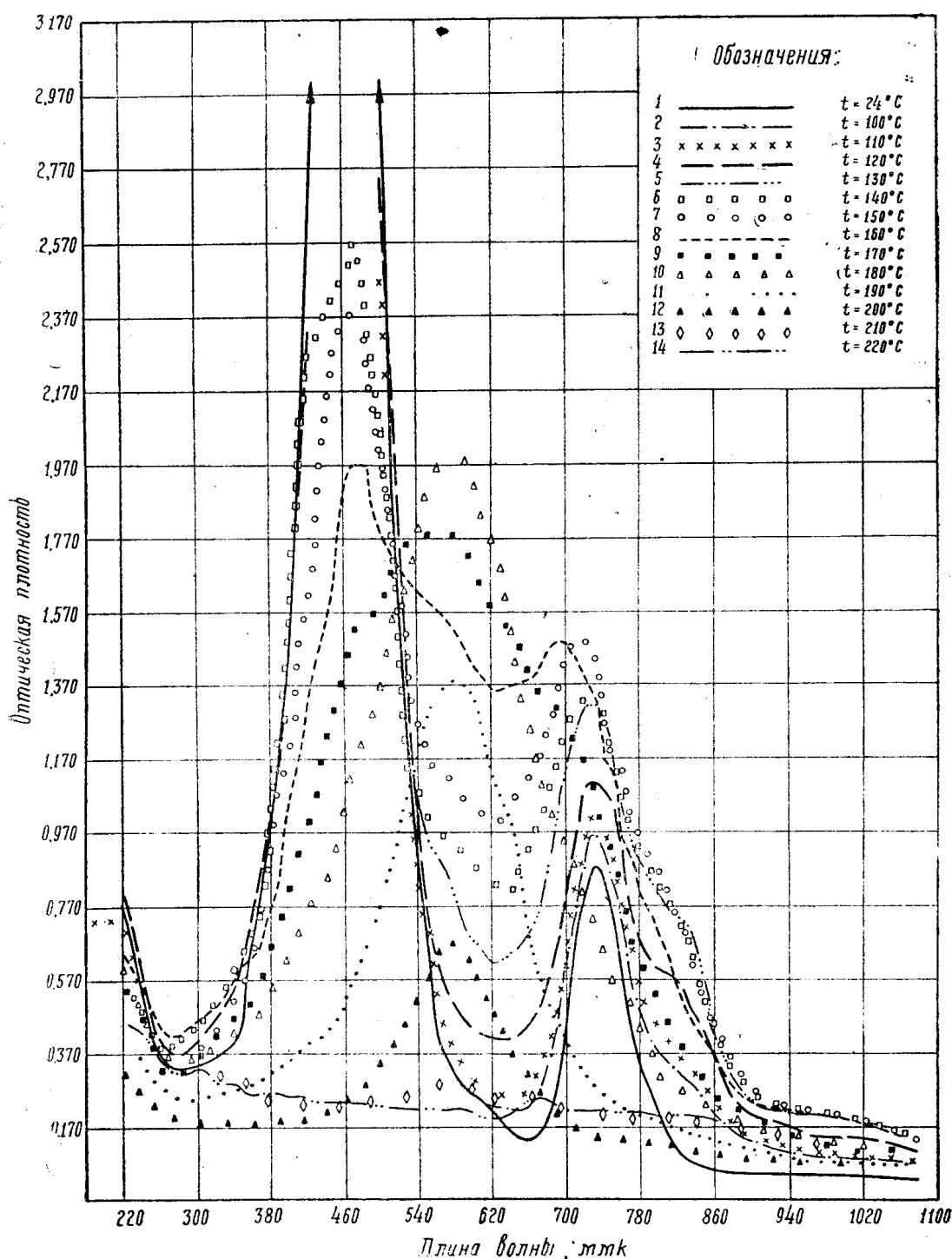


Рис. 4. Изменение спектров поглощения, облученных протонами кристаллов хлористого натрия (экспозиционная доза $6.8 \cdot 10^{14}$ протон/ см^2) в зависимости от температуры отжига

дается образованием полосы при 578 мк. Разрушение полосы при 578 мк сопровождается выделением энергии с максимумом при 218°C.

Положение максимумов выделения энергии в данной работе несколько отличается от литературных [1, 2]. По-видимому, это связано с различием в качестве исследуемых кристаллов, а также в скорости их нагревания.

Выводы

Таким образом, в результате исследования термической устойчивости дефектов в облученных протонами кристаллах NaCl можно сделать следующие выводы:

1. Низкотемпературный максимум выделения энергии обусловлен коагуляцией и частичной рекомбинацией F -центров.
2. Термическое разрушение радиационных дефектов происходит в результате ионных процессов.

ЛИТЕРАТУРА

1. K. Kobayashi. Phys. Rev. **102**, 348, 1956.
2. A. B. Кузьмина. Диссертация. Томск, политехнический институт, (1962).
3. Е. К. Завадовская, А. В. Кузьмина. Изв. вузов, Физика, № 1, (1965).
4. N. Hennen. Z angew. Phys. **15**, 1, (1963).
5. R. W. Dreyfus, A. S. Nowick. J. Appl. Phys. Supl. **33**, 1, (1962).
6. Е. К. Завадовская, А. В. Кузьмина, Е. М. Головчанский. ПТЭ (в печати).
7. В. И. Сидляренко и др. Известия вузов, Физика, № 5, (1965).